

III. Stationäre Felder

Für stationäre Situationen vereinfachen sich die Grundgleichungen ganz wesentlich, da nach Voraussetzung alle Zeitableitungen bilden. Elektrische und magnetische Felder entkoppeln sich dann weitgehend und es liegt meistens entweder eine elektrostatische oder eine magnetostatische Aufgabenstellung vor. Dies ist aber nicht immer der Fall, wie wir etwa bei der Erscheinung der Unipolarinduktion sehen werden. Beispielsweise erzeugt eine rotierende leitende magnetisierte Kugel auch ein elektrisches Feld.

III.1 Grundgleichungen

Für stationäre Felder reduzieren sich die Maxwell'schen Gl. (II.1.26, 27) auf die folgenden beiden Paare, die nur das elektrische oder das magnetische Feld enthalten:

$$\nabla \cdot \underline{E} = 4\pi\rho , \quad \nabla \times \underline{E} = 0 , \quad (1.1)$$

$$\nabla \cdot \underline{B} = 0 , \quad \nabla \times \underline{B} = \frac{4\pi}{c} \underline{J} . \quad (1.2)$$

Aus der Kontinuitätsgleichung wird

$$\nabla \cdot \underline{J} = 0 , \quad (1.3)$$

welche natürlich aus der 2. Gleichung in (1.2) folgt.

Eine allfällige Kopplung zwischen elektrischen und magnetischen Feldern kann dadurch zustande kommen, dass die Stromdichte \underline{J} von \underline{E} und \underline{B} abhängt. (Siehe dazu § III. 5.)

Wir sprechen von einer stationären Situation, wenn auch keine Strome fließen. Dann gibt es - von homogenen

Magnetfeldern abgeschen - nur noch elektrische Felder und elektrische Ladungsverteilungen, d.h. wir landen bei der Elektrostatisik, welche uns in Kap. I hinsichtlich bekannt geworden ist.

Die Kraftdichte auf Ladungen und Ströme ist nach (II.3.5)

$$\underline{k} = \rho \underline{E} + \frac{1}{c} \underline{J} \wedge \underline{B} . \quad (1.4)$$

Von § II.3 wissen wir, dass sich diese als Divergenz der Maxwell'schen Spannungen darstellen lässt (siehe p. II.30):

$$k_i = -\partial_k T_{ik} , \quad (1.5)$$

$$T_{ik} = -\frac{1}{4\pi} \left[E_i E_k + B_i B_k - \frac{1}{2} \delta_{ik} (\underline{E}^2 + \underline{B}^2) \right] . \quad (1.6)$$

III.2 Magnetostatik

Wir studieren nun magnetostatische Probleme und schreiben die zugehörigen Grundgleichungen (1.2) nochmals auf:

$$\operatorname{div} \underline{B} = 0 , \quad \operatorname{rot} \underline{B} = \frac{4\pi}{c} \underline{J} . \quad (2.1)$$

Die dazu äquivalenten integralen Gesetze lauten nach (II.1.42) und (II.1.45)

$$\int_S \underline{B} \cdot d\underline{s} = 0 \quad \text{für alle geschlossenen orientierten Flächen } S \quad (2.2)$$

$$\int_{\partial S} \underline{B} \cdot d\underline{s} = \frac{4\pi}{c} I(S) , \quad (2.3)$$

$$\text{mit } I(S) = \int_S \underline{J} \cdot d\underline{s} \quad (2.4)$$

den Strom durch das orientierte Flächenstück S mit orientiertem Rand ∂S bezeichnet. Gl. (2.3) ist das Äquivalente Gesetz, dessen Nützlichkeit wir gleich an einem Beispiel überprüfen.

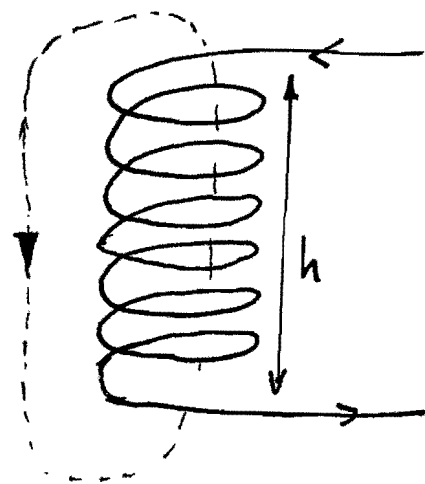
Das Feld einer Magnetspule. Der Abstand zwischen den einzelnen Windungen sei klein gegen den Spulendurchmesser und die Spulenlänge h . In diesem Fall ist das \underline{B} -Feld im Inneren praktisch konstant und verschwindet außen. Für den gestrichelten Integrationsweg in der Fig. gilt dann

$$\int \underline{I} \cdot \underline{n} d\sigma = NI,$$

$$\oint \underline{B} \cdot d\underline{s} = h \cdot \underline{B}.$$

Dabei ist I die Stromstärke im Draht und N ist die Zahl der Windungen.
Aus (2.3) ergibt sich deshalb

$$\underline{B} = \frac{4\pi N}{h} \frac{\underline{I}}{c}. \quad (2.5)$$



Dieses Resultat lässt sich natürlich auch durch Integration der Grundf. (2.1) (s. den nächsten Abschnitt) gewinnen, aber die hier verwendete Methode führt viel rascher zum Ziel.

2.1 Integration der Grundgleichungen für eine gegebene Stromverteilung

Aus $\operatorname{div} \underline{B} = 0$ in \mathbb{R}^3 folgt nach dem Lemma von Poincaré, dass ein Vektorfeld \underline{A} existiert, so dass

$$\underline{B} = \operatorname{rot} \underline{A}. \quad (2.6)$$

(Dies ergibt sich natürlich auch als Spezialfall von (II.1.28).)
Das Vektorpotential \underline{A} können wir noch umrechnen

$$\underline{A} \rightarrow \underline{A} + \operatorname{grad} \lambda, \quad \lambda \in C^2(\mathbb{R}^3). \quad (2.7)$$

Dabei ändert sich die Divergenz von \underline{A} gemäß

$$\operatorname{div} \underline{A} \rightarrow \operatorname{div} \underline{A} + \Delta \underline{A}.$$

Wir können offensichtlich erwarten, dass $\operatorname{div} \underline{A}$ einen vorgegebenen Wert hat (nach eventueller Lösung der Poisson-Gl.).

Setzen wir (2.6) in die inhomogene Gl. von (2.1) ein, so ergibt sich

$$\operatorname{tot}(\operatorname{tot} \underline{A}) = \frac{4\pi}{c} \underline{J}, \quad (2.8)$$

oder

$$\operatorname{grad} \operatorname{div} \underline{A} - \Delta \underline{A} = \frac{4\pi}{c} \underline{J}. \quad (2.9)$$

Nun wählen wir die Coulomb-Feldung

$$\operatorname{div} \underline{A} = 0. \quad (2.10)$$

In dieser gilt

$$\boxed{\Delta \underline{A} = -\frac{4\pi}{c} \underline{J}}. \quad (2.11)$$

Die einzige, im Unendlichen verschwindende Lösung ist

$$\underline{A}(\underline{x}) = \frac{1}{c} \int \frac{\underline{J}(\underline{x}')}{|\underline{x} - \underline{x}'|} d\underline{x}'. \quad (2.12)$$

Durch Rotationsbildung ergibt sich daraus

$$\underline{B}(\underline{x}) = \frac{1}{c} \int \underline{J}(\underline{x}') \times \frac{\underline{x} - \underline{x}'}{|\underline{x} - \underline{x}'|^3} d\underline{x}'. \quad (2.13)$$

2.2 \underline{B} -Feld in grossen Abständen

Wir interessieren uns jetzt – bei gegebener Stromverteilung – für das zugehörige \underline{B} -Feld in grossen Abständen, verglichen zu Dimensionen des Stromsystems. Von einer systematischen

Multipolentwicklung, wie in der Elektrostatik, wollen wir hier abschließen. Wir beschränken uns auf die drei höchsten Terme der Entwicklung.

Wir Hilfe von

$$\frac{1}{|\underline{x} - \underline{x}'|} = \frac{1}{|\underline{x}|} + \frac{\underline{x} \cdot \underline{x}'}{|\underline{x}|^3} + \dots \quad (2.14)$$

folgt aus (2.12)

$$A_i(\underline{x}) = \frac{1}{c|\underline{x}|} \int J_i(\underline{x}') d\underline{x}' + \frac{\underline{x}}{c|\underline{x}|^3} \cdot \int J_i(\underline{x}') \underline{x}' d\underline{x}' + \dots \quad (2.15)$$

Der erste Term in (2.15) (Monopol) verschwindet für eine stationäre Stromverteilung, dann aus

$$\nabla \cdot (\underline{x}_i \underline{J}) = \partial_k (\underline{x}_i J_k) = J_i + \underline{x}_i \underbrace{\nabla \cdot \underline{J}}_0$$

folgt durch Integration mit dem Gauß'schen Satz

$$\int J_i d\vec{x} = \int \nabla \cdot (\underline{x}_i \underline{J}) d\vec{x} = 0. \quad (2.16)$$

Um den 2. Term in (2.15) umzuformen, benutzen wir die Beziehung

$$\partial_k (\underline{x}_i \underline{x}_j J_k) = \underline{x}_j J_i + \underline{x}_i J_j + \underbrace{\partial_k J_k}_{0} \underline{x}_i \underline{x}_j ,$$

welche

$$\int (\underline{x}_i J_j + \underline{x}_i J_j) dV = 0 \quad (2.17)$$

impliziert. Multiplizieren wir die letzte Gl. mit einem ortunabhängigen Vektor \underline{a}_i , so ergibt sich

$$\int [(\underline{a} \cdot \underline{x}') \underline{J}(\underline{x}') + \underline{x}' (\underline{a} \cdot \underline{J}(\underline{x}'))] d\vec{x}' = 0. \quad (2.18)$$

Da aber

$$\underline{a} \wedge (\underline{x}' \wedge \underline{J}) = \underline{x}' (\underline{a} \cdot \underline{J}) - (\underline{a}, \underline{x}') \underline{J}$$

können wir (2.18) auch so schreiben:

$$\int (\underline{a} \cdot \underline{x}') \underline{J}(\underline{x}') d\underline{x}' = -\frac{1}{2} \int \underline{a} \wedge (\underline{x}' \wedge \underline{J}(\underline{x}')) d\underline{x}'. \quad (2.19)$$

Speziell für $\underline{a} = \underline{x}$ führt diese Gleichung zur folgenden Umformung von (2.18)

$$\underline{A}(\underline{x}) = -\frac{1}{2c} \frac{1}{|\underline{x}|^3} \int \underline{x} \wedge (\underline{x}' \wedge \underline{J}(\underline{x}')) d\underline{x}' + \dots . \quad (2.20)$$

Wir nennen

$$\underline{\mu} = \frac{1}{2c} \int \underline{x} \wedge \underline{J}(\underline{x}) d\underline{x} \quad (2.21)$$

das magnetische Moment der Stromverteilung. Gl. (2.20) lautet

$$\underline{A}(\underline{x}) = \frac{\underline{\mu} \wedge \underline{x}}{|\underline{x}|^3} + \dots , \quad (2.22)$$

mit dem zugehörigen \underline{B} -Feld

$$\underline{B}(\underline{x}) = \text{rot } \underline{A}(\underline{x}) = \frac{3 \hat{\underline{x}} (\hat{\underline{x}} \cdot \underline{\mu}) - \underline{\mu}}{|\underline{x}|^3} + \dots . \quad (2.23)$$

Der ausgeschriebene Term ist ein magnetisches Dipolfeld. (Vergleiche dies mit (I.9.14).)

Beispiele:

a) geschlossener linearer Leiter: Dafür ist das magnetische Moment

$$\underline{\mu} = \frac{I}{2c} \int \underline{x} \wedge d\underline{s} .$$



$\underline{\mu}$ steht senkrecht auf der Ebene des Stromes. Da ferner $\frac{1}{2} |\underline{x} \wedge d\underline{s}| = d\underline{s}$ (Flächenelement), ist der Beitrag von $\underline{\mu}$

$$|\underline{\mu}| = \frac{I}{c} \underset{\substack{\uparrow \\ \text{Fläche, welche den Leiter umschließt}}}{F} \quad (2.24)$$

b) magnetisches Moment einer translatorisch bewegten kleinen Ladung

Ein Kugelchen mit der Ladungsverteilung ρ_0 relativ zum Schwerpunkt bewege sich längs des Weges $\underline{z}(t)$. Dieses habe keinen inneren Drehimpuls (Spin). Die zeitabhängige Ladungsverteilung ist dann

$$\rho(\underline{x}, t) = \rho_0(\underline{x} - \underline{z}(t)) \quad (2.25)$$

und die Stromdichte ist

$$\underline{J}(\underline{x}, t) = \rho(\underline{x}, t) \dot{\underline{z}} = \rho_0(\underline{x} - \underline{z}(t)) \underline{v}, \quad \underline{v} = \dot{\underline{z}}. \quad (2.26)$$

Das magnetische Moment (2.21) ist deshalb für ein sehr kleines Kugelchen

$$\underline{\mu} = \frac{1}{2c} \int \rho_0(\underline{x} - \underline{z}(t)) \underline{x} \wedge \underline{v} d^3x \approx \frac{1}{2c} \underline{x} \wedge \underline{v} \underbrace{\int \rho_0(\underline{x} - \underline{z}(t)) d^3x}_e,$$

d.h.

$$\underline{\mu} = \frac{e}{2mc} \underline{L}, \quad (2.27)$$

wobei e die Ladung, m die Masse und $\underline{L} = \underline{m} \times \underline{v}$ der Bahndrehimpuls des Kugelchens ist. (Man sagt auch, der g-Faktor sei gleich 1.)

2.3 Kräfte von Magnetfeldern auf Strome

Nach (1.4) ist die Gesamtkraft auf eine Stromverteilung

$$\underline{K} = \frac{1}{c} \int \underline{J}(\underline{x}) \wedge \underline{B}(\underline{x}) d^3x, \quad (2.28)$$

wobei \underline{B} das äußere Magnetfeld ist. Dazu gehört das Dreihauptmoment

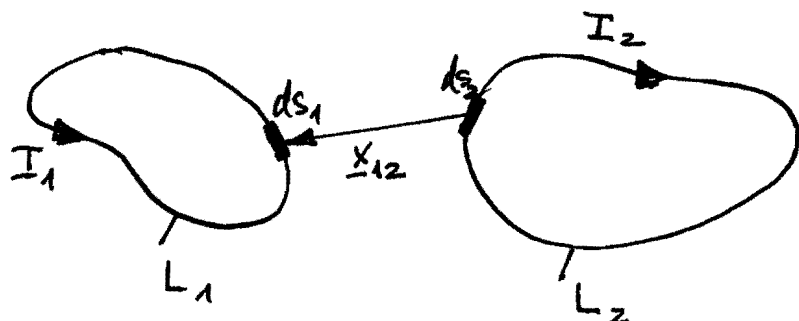
$$\underline{N} = \frac{1}{c} \int \underline{x} \wedge (\underline{J}(x) \wedge \underline{B}(x)) dx. \quad (2.29)$$

Für einen linearen Strom I erfährt das Leitersegment $d\underline{s}$ die Kraft (wie man durch einen Grenzübergang aus (2.28) sieht):

$$d\underline{k} = \frac{I}{c} d\underline{s} \wedge \underline{B}. \quad \begin{array}{c} d\underline{s} \\ \nearrow \\ \curvearrowright I \end{array} \quad (2.30)$$

Beispiele:

a) Kraft zwischen zwei geschlossenen linearen Leitern



Die Kraft, die der Leiter L_2 auf den Leiter L_1 ausübt, ist nach (2.30)

$$\underline{k}_{12} = \frac{1}{c} I_1 \oint_{L_1} d\underline{s}_1 \wedge \underline{B}_2,$$

wenn \underline{B}_2 das Feld ist, das vom Leiter L_2 erzeugt wird.

Dieses ist nach (2.13) – im Fall linearer Leiter – (s. Fig.):

$$\underline{B}_2 = \frac{1}{c} I_2 \oint_{L_2} \frac{d\underline{s}_2 \wedge \underline{x}_{12}}{|\underline{x}_{12}|^3}.$$

Also haben wir

$$\underline{k}_{12} = \frac{1}{c^2} I_1 I_2 \oint_{L_1} \oint_{L_2} \frac{d\underline{s}_1 \wedge (d\underline{s}_2 \wedge \underline{x}_{12})}{|\underline{x}_{12}|^3}. \quad (2.31)$$

Dies können wir noch etwas symmetrischer schreiben: Wegen

$$d\underline{s}_1 \wedge (d\underline{s}_2 \wedge \underline{x}_{12}) = -(\underline{ds}_1 \cdot \underline{ds}_2) \underline{x}_{12} + \underline{ds}_2 (\underline{ds}_1 \cdot \underline{x}_{12})$$

und

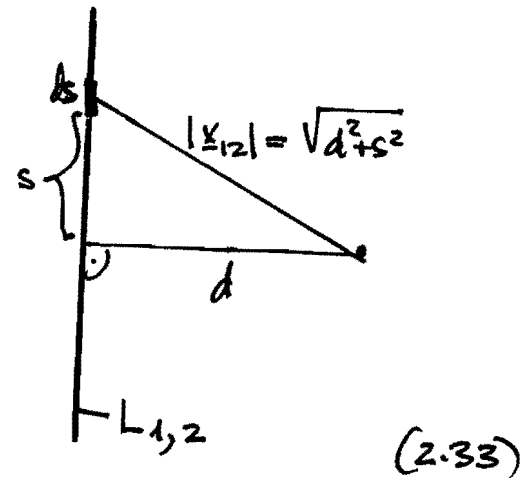
$$\oint_{L_1} \frac{ds_1 \cdot \underline{x}_{12}}{|\underline{x}_{12}|^3} = \oint ds_1 \cdot \nabla_1 \left(\frac{1}{|\underline{x}_{12}|} \right) = 0$$

gilt auch

$$K_{12} = -\frac{1}{c^2} I_1 I_2 \oint_{L_1} \oint_{L_2} (\underline{ds}_1 \cdot \underline{ds}_2) \frac{\underline{x}_{12}}{|\underline{x}_{12}|^3}. \quad (2.32)$$

In dieser Form sieht man die Gültigkeit von "achio = rechio"⁴. Speziell für zwei lange parallele und gerade Drähte im Abstand d erhält man eine Kraft pro Längeneinheit vom Bezug (s. Fig.):

$$\begin{aligned} K &= \frac{1}{c^2} I_1 I_2 \int_{L_{1,2}} ds \frac{d}{|\underline{x}_{12}|^3} \\ &= \frac{1}{c^2} I_1 I_2 \int_{-\infty}^{+\infty} ds \frac{d}{(d+s^2)^{3/2}}, \end{aligned}$$



d.h.

$$K = \frac{2 I_1 I_2}{c^2 d}.$$

(2.33)

Die Kraft ist attraktiv (repulsiv) falls die Ströme in gleicher (entgegengesetzter) Richtung fließen.

b) Kraft auf eine translatorisch bewegte kleine Ladung

Diese ist uns schon aus Kap. II bekannt. Wir können sie aber auch wieder aus (2.28) gewinnen. Mit den Bezeichnungen von Beispiel b) auf S. III.7 ist

$$K = \frac{1}{c} \int \underline{p}_0(\underline{x} - \underline{z}(t)) \underline{v} \wedge \underline{B} d\underline{x} \simeq \frac{1}{c} \underline{v}(t) \wedge \underline{B}(\underline{z}(t)) \underbrace{\int p_0(\underline{s}) d^3 \underline{s}}.$$

Dabei haben wir angenommen, dass die Dimensionen der Kugel sehr klein ist, verglichen mit den Längen, auf denen das \underline{B} -Feld wesentlich variiert. Wie finden also wieder die Lorentzkraft

$$K = \frac{e}{c} \underline{v} \wedge \underline{B}. \quad (2.34)$$

c) Kraft und Drehmoment auf lokalisierte Stromverteilung

Wir betrachten nun die Kraft und das Drehmoment auf eine beliebige lokalisierte Stromverteilung. Die Ausdehnung der Stromverteilung sei so klein, dass das äußere \underline{B} -Feld darin nur wenig variiert. Dann können wir nach Taylor entwenden (der Nullpunkt liege in der Stromverteilung):

$$\underline{B}_i(\underline{x}) = \underline{B}_i(0) + (\underline{x} \cdot \nabla) \underline{B}_i(0) + \dots . \quad (2.35)$$

Aus (2.28) folgt mit (2.16)

$$\underline{k} = -\frac{1}{c} \underline{B}(0) \wedge \underbrace{\int \underline{J}(\underline{x}) d\underline{x}}_{0 \text{ (2.16)}} + \frac{1}{c} \int \underline{J}(\underline{x}') \wedge [(\underline{x}' \cdot \nabla) \underline{B}(0)] d\underline{x}' + \dots . \quad (2.36)$$

Die i -te Komponente des Integranden im 2. Term reduziert sich auf $\epsilon_{ijk} J_j(\underline{x}') x'_k \partial_k \underline{B}_i(0)$. Die Quellen des äußeren Feldes sind "weit weg"; deshalb ist $\partial_k \underline{B}(0) = 0$, d.h. $\partial_k \underline{B}_i = \partial_k \underline{B}_i$. Damit ist der betrachtete Ausdruck gleich (∂_k wirkt nur auf \underline{B}):

$$\partial_k \epsilon_{ijk} J_j(\underline{x}') x'_k \underline{B}_i = - \int \nabla \wedge [\underline{J}(\underline{x}') (\underline{x}' \cdot \underline{B})] \}_{;i} ,$$

d.h.

$$\underline{k} = -\frac{1}{c} \nabla \wedge \int \underline{J}(\underline{x}') (\underline{x}' \cdot \underline{B}) d\underline{x}' + \dots . \quad (2.37)$$

Setzen wir in (2.19) \underline{a} gleich \underline{B} , so können wir (2.37) wie folgt umschreiben

$$\underline{k} = \text{rot} \frac{1}{2c} \int \underline{B}(0) \wedge (\underline{x}' \wedge \underline{J}(\underline{x}')) d\underline{x}' + \dots$$

oder, mit dem magnetischen Moment (2.21)

$$\underline{k} = \text{rot} (\underline{B} \wedge \mu) + \dots$$

$$\text{d.h. } k_i = \epsilon_{ijk} \delta_j \epsilon_{kmn} B_m \mu_n = (\delta_{im} \delta_{jn} - \delta_{in} \delta_{jm}) \partial_j B_m \mu_n =$$

$$= \partial_j B_i \mu_j - \mu_i \partial_j B_j = \mu_j \partial_j B_i = \mu_j \partial_i B_j = \partial_i (\mu \cdot \underline{B}) .$$

Damit erhalten wir endgültig (bis auf höhere Ordnungen)

$$\underline{K} = -\nabla U , \quad U = -\mu \cdot \underline{B} . \quad (2.38)$$

Das Drehmoment \underline{N} erhalten wir durch einsetzen von (2.35) in (2.29)

$$\underline{N} = \frac{1}{c} \int \underbrace{\underline{x}' \wedge (\underline{J}(\underline{x}') \wedge \underline{B}(0)) d\underline{x}'}_{(\underline{x}' \cdot \underline{B}) \underline{J}(\underline{x}') - (\underline{x}' \cdot \underline{J}(\underline{x}')) \underline{B}} + \dots$$

(Da hier der erste Term von (2.35) einen nichtverschwindenden Beitrag gibt, lassen wir die höheren Terme weg.) Das erste Integral ist dasselbe wie in (2.37), also gleich $\mu \wedge \underline{B}$. Das zweite Integral verschwindet für einen stationären Strom, was sich aus der folgenden Identität ergibt:

$$\nabla \cdot (\underline{x}^2 \underline{J}) = \partial_k (x_k x_l J_k) = z(\underline{x} \cdot \underline{J}) + \underbrace{\underline{x}^2 \nabla \cdot \underline{J}}_0 .$$

Damit erhalten wir

$$\underline{N} = \mu \wedge \underline{B} . \quad (2.39)$$

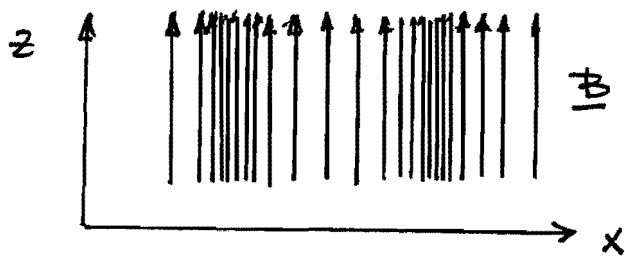
d) Der magnetische Druck

Wir betrachten ein magnetisches Feld der Form

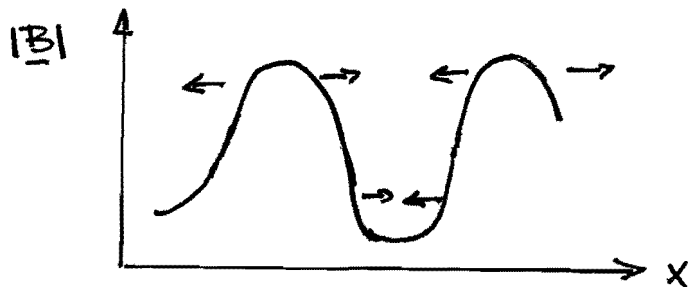
$$\underline{B} = (0, 0, B(x)) , \quad (2.40)$$

wodies also nur eine z -Komponente hat, die von x abhängt

soll (siehe Fig.)



inhomogenes Parallelfeld



Die Kraftdichte ist durch den Spannungstensor gegeben (s. (1.5), (1.6)):

$$k_i = \frac{1}{4\pi} \partial_k [B_i B_k - \frac{1}{2} \delta_{ik} B^2]. \quad (2.41)$$

Nur die x-Komponente verschwindet nicht,

$$k_x = -\frac{1}{8\pi} (B^2)', \quad ' = \frac{d}{dx}. \quad (2.42)$$

Diese Kraft wirkt auf die Materie wie ein Druck. So wie z.B. ein isotropes Gas von Stellen hoher Teilchenichte in Gebiete niedriger Dichte drückt, so drücken die Feldlinien von Gebieten hoher Feldstärke in Gebiete niedriger Dichte von Feldlinien. Die Feldlinien schneinen sich abzustossen, und es ist deshalb sinnvoll, von einem magnetischen Druck zu sprechen.

Die Kraftwirkungen eines Magnetfeldes sind aber viel komplizierter als der Gasdruck, wie wir noch verschiedentlich sehen werden. Interessante Beispiele werden im folgenden Abschnitt diskutiert.

III.3 Magnetohydrodynamik

In der Magnetohydrodynamik (Spezialfall der Magnetohydrodynamik, siehe Kap. VIII) beschreibt man sich mit Gleichgewichtskonfigurationen von Materie (Plasma) und Magnetfeld. Neben den Gleichungen (z.B.) der Magnetostatik,

$$\nabla \cdot \underline{B} = 0, \quad \text{rot } \underline{B} = \frac{4\pi}{c} \underline{J} \quad (3.1)$$

muss man hier noch die hydrostatische Gleichung

$$g \rho \text{ad} P = k + \rho_m g \quad (3.2)$$

hinzunehmen. Hier ist P der Druck,

$$k = \frac{1}{c} \underline{J} \times \underline{B} = \frac{1}{4\pi} (\text{rot } \underline{B}) \times \underline{B}, \quad (3.3)$$

und $\rho_m g$ ist die Kraftdichte der Gravitation (ρ_m = Massendichte, g = Gravitationsbeschleunigung). Daneben benötigt man noch eine Zustandsgleichung

$$P = P(\rho_m, T), \quad \text{z.B. } P = \frac{R}{\mu} \rho_m T \quad (3.4)$$

(R = Gaskonstante, μ = mittleres Molekulargewicht).

3.1 Der Gleidgewichts-Pinch

In einem zylindrischen Gefäß sei ein Plasma eingeschlossen. Schürt man einen starken Strom in Längsrichtung hinein, so löst sich das Plasma von den Wänden ab und schmiegt sich durch das eigene Feld ein (Pinch-Effekt). Wir wollen nun spezielle eingeschlossene Plasmakonfigurationen diskutieren. Dabei wird axiale Symmetrie vorausgesetzt (s. Fig.).

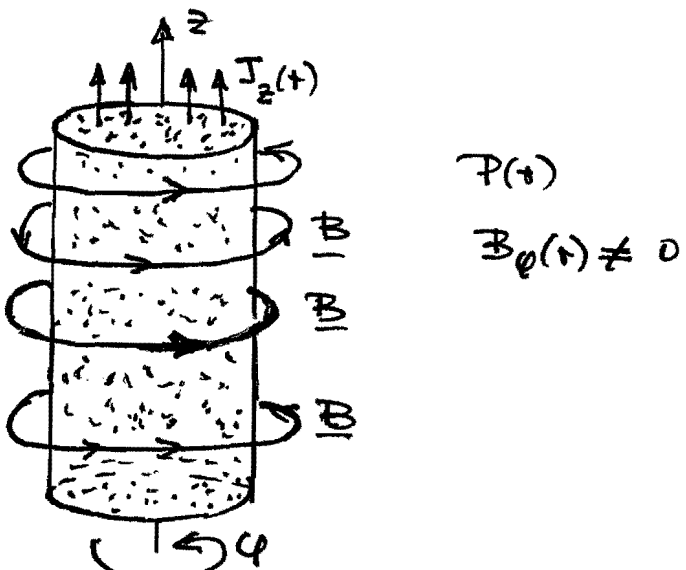


Fig. Eingehüllter Plasmaraum
(zylindrisch symmetrisch)

Die radiale Komponente von (3.2) lautet mit (3.3) in zylindrischen Koord. (r, θ, z):

$$\frac{dP}{dr} = -\frac{1}{c} J_z B_\phi. \quad (3.5)$$

Darin (und anderswo) hängen alle Größen nur von r ab.

Der totale Strom innerhalb r ist

$$I_z(+) = \int_0^r J_z(+) 2\pi r dr. \quad (3.6)$$

Nach dem Ampère'schen Gesetz gilt

$$2\pi r B_\phi(+) = \frac{4\pi}{c} I_z(+) \quad (3.7)$$

und folglich

$$B_\phi(r) = \frac{4\pi}{c} \frac{1}{r} \int_0^r J_z(+) r dr, \quad \frac{1}{r} \frac{d}{dr} [r B_\phi(r)] = \frac{4\pi}{c} J_z(r). \quad (3.8)$$

Davon setzen wir die 2. Gl. in (3.5) ein

$$\frac{dP}{dr} = -\frac{1}{4\pi} \frac{dB_\phi}{dr} B_\phi - \frac{1}{4\pi} \frac{B_\phi^2}{r} = -\frac{1}{8\pi r^2} \frac{d}{dr} (r^2 B_\phi^2). \quad (3.9)$$

Durch Integration kommt

$$P(t) = P(0) - \frac{1}{8\pi} \int_0^t \frac{1}{r^2} \frac{d}{dt} (t^2 B_0^2) dr.$$

Die Oberfläche des Pinch befindet sich beim Radius $r=R$:

$P(R)=0$. Somit gilt

$$P(0) = \frac{1}{8\pi} \int_0^R \frac{1}{r^2} \frac{d}{dr} (t^2 B_0^2) dr$$

und also

$$\boxed{P(t) = \frac{1}{8\pi} \int_t^R \frac{1}{r^2} \frac{d}{dr} (t^2 B_0^2) dr.} \quad (3.10)$$

Für $t > R$ ist nach Angabe

$$B(t) = \frac{2I}{ct} \quad , \quad I := I_z(R) = \text{Gesamtstrom durch Pinch.} \quad (3.11)$$

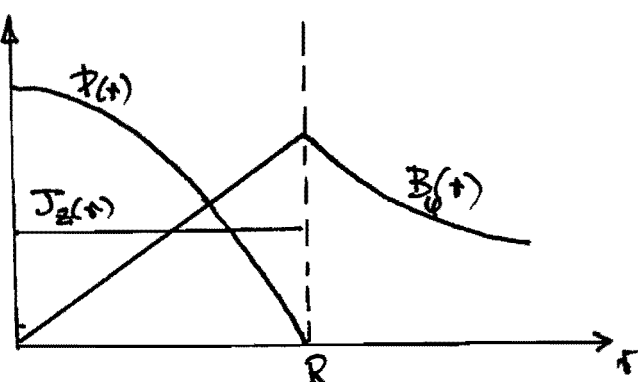
$$\underline{\text{Beispiel}}: \quad J_z(t) = \text{const für } t < R, \quad J_z = \frac{I}{\pi R^2}. \quad (3.12)$$

Aus (3.8) folgt

$$B_0(t) = \begin{cases} \frac{2It}{cR^2} & (t < R), \\ \frac{2I}{ct} & (t > R), \end{cases} \quad (3.13)$$

und (3.10) gibt damit

$$\boxed{P(t) = \frac{I^2}{\pi c^2 R^2} \left(1 - \frac{t^2}{R^2}\right) \quad (t < R).} \quad (3.14)$$



Diese Resultate sind in der obenstehenden Figur skizziert.

Ein ganz anderes Problem ist die Analyse der Instabilitäten dieser Konfigurationen. Darauf können wir hier nicht eingehen und ich muss auf Bücher über Plasma-Physik verweisen.*)

3.2 Die Grad-Shafranov-Gleichung

Wir betrachten nun allgemeine axialsymmetrische magnetohydrostatischen Konfigurationen. Zunächst benötigen wir eine zweckmäßige Darstellung von axialsymmetrischen Magnetfeldern (welche auch für andere Zwecke nützlich ist).

Wir benutzen Zylinderkoordinaten (s, φ, z) . In $\underline{B} = (B_s, B_\varphi, B_z)$ sind wegen der vorausgesetzten Axialsymmetrie alle drei Komponenten unabhängig von φ . Ist $B_\varphi = 0$, so heißt das Feld poloidal (oder meridional). Ist mit $B_\varphi \neq 0$, so spricht man von einem toroidalen Feld. Da man diese beiden Feldtypen immer supposeden kann, betrachten wir jetzt etwas genauer ein poloidales Feld $\underline{B} = (B_s, 0, B_z)$.

Dafür sei $\Psi(s, z)$ die Flussfunktion definiert durch

$$\Psi(s, z) = \int_0^{2\pi} d\varphi \int_0^s s' ds' B_z(s', z) = 2\pi \int_0^s B_z(s', z) s' ds'. \quad (3.15)$$

Es ist also $\Psi(s, z)$ der Fluss in z -Richtung durch eine Kreisfläche vom Radius s , die senkrecht auf der durch ihren Mittelpunkt gehenden z -Achse ist.

*) Siehe z.B. R. Kippenhahn u. C. Möllenhoff, Elementare Plasmaphysik, B.I.-Wissenschaftsverlag 1975; siehe speziell § 24.

Aus (3.15) folgt durch Differentiation nach s

$$\underline{B}_z = \frac{1}{2\pi s} \frac{\partial \Psi}{\partial s} . \quad (3.16)$$

Die Gl. $\operatorname{div} \underline{B} = 0$ gibt

$$\frac{1}{s} \frac{\partial}{\partial s} (s \underline{B}_s) + \frac{\partial \underline{B}_z}{\partial z} = 0$$

oder mit (3.16)

$$\frac{\partial}{\partial s} (s \underline{B}_s) = - \frac{1}{2\pi} \frac{\partial \Psi}{\partial s \partial z} .$$

Folglich haben wir

$$\underline{B}_s = - \frac{1}{2\pi s} \frac{\partial \Psi}{\partial z} + \frac{1}{s} C(z) .$$

Da die Felder keine Singularitäten haben sollen, muss $C(z)=0$ sein, weshalb

$$\underline{B}_s = - \frac{1}{2\pi s} \frac{\partial \Psi}{\partial z} . \quad (3.17)$$

Wir können die beiden Gl. (3.16), (3.17), d.h.

$$\underline{B} = \frac{1}{2\pi s} \left(-\frac{\partial \Psi}{\partial z}, 0, \frac{\partial \Psi}{\partial s} \right) \quad (3.18)$$

vektoriell schreiben:

$$\boxed{\underline{B} = \frac{\nabla \Psi \wedge \underline{e}_\varphi}{2\pi s}} . \quad (3.19)$$

Ein poloidales Magnetfeld wird also in einfacher Weise durch die Flussfunktion beschrieben.

Wir lassen in (3.2) die Gewichtskraft weg und haben also die hydrostatische Gleichung

$$\nabla P = \frac{1}{c} \underline{J} \wedge \underline{B} \quad (3.20)$$

in Verein mit den Feldgleichungen

$$\nabla \cdot \underline{B} = 0 \quad , \quad \nabla \wedge \underline{B} = \frac{4\pi}{c} \underline{J} \quad (3.21)$$

zu lösen.

Durch skalare Multiplikation erhalten wir aus (3.20)

$$\underline{J} \cdot \nabla P = 0, \quad \underline{B} \cdot \nabla P = 0, \quad (3.22)$$

d.h. die Isobaren $P = \text{const}$ sind zugleich magnetische Flächen und Stromflächen. Daraus und aus (3.19) folgt $\nabla P \parallel \nabla \Psi$, und somit ist der Druck eine Funktion von Ψ , $P = P(\Psi)$.

Nun berechnen wir die rechte Seite von (3.20) mit Hilfe von (3.19)

$$\underline{J} \wedge \underline{B} = \frac{1}{2\pi s} [(\underline{J} \cdot e_\phi) \nabla \Psi - (\underline{J} \cdot \nabla \Psi) e_\phi]. \quad (3.22)$$

Nach (3.20) muss dieser Ausdruck poloidal sein, d.h.

$\underline{J} \cdot \nabla \Psi$ muss verschwinden, was auch aus (3.22) und $P = P(\Psi)$ folgt. Wir erhalten also

$$\nabla P = \frac{\partial P}{\partial \Psi} \nabla \Psi = \frac{1}{c} \underline{J} \wedge \underline{B} = \frac{1}{2\pi s c} (\underline{J} \cdot e_\phi) \nabla \Psi,$$

d.h.

$$\underline{J}^T = 2\pi s \frac{\partial P}{\partial \Psi}, \quad (3.23)$$

wo $\underline{J}^T = \underline{J} \cdot e_\phi$ den toroidalen Anteil der Stromdichte bezeichnet.

Jetzt multiplizieren wir das Ampère'sche Gesetz (3.21) skalar mit e_ϕ und benutzen das Ergebnis (3.23) sowie die Darstellung (3.19):

$$\frac{4\pi}{c} \frac{2\pi s}{\partial \Psi} \frac{\partial P}{\partial \Psi} = \vec{e}_\varphi \cdot (\nabla \wedge \underline{B}) = \text{rot}_{\varphi} \underline{B} = \frac{\partial B_s}{\partial z} - \frac{\partial B_z}{\partial s}$$

$$= \frac{\partial}{\partial z} \left(-\frac{1}{2\pi s} \frac{\partial \Psi}{\partial z} \right) - \frac{\partial}{\partial s} \left(\frac{1}{2\pi s} \frac{\partial \Psi}{\partial s} \right).$$

Man zeigt leicht, dass der letzte Ausdruck auch gleich $-\nabla \cdot (\nabla \Psi / 2\pi s^2)$ ist. Damit erhalten wir die Gleichung von Grad-Shafranov:

$$\nabla \cdot \left(\frac{\nabla \Psi}{2\pi s^2} \right) = -8\pi^2 \frac{\partial P}{\partial \Psi}. \quad (3.24)$$

Axialsymmetrische Konfigurationen können nun für poloidale Magnetfelder folgendermassen bestimmt werden:

Man gebe sich $P(\Psi)$ vor, löse dann (3.24), womit das Magnetfeld durch (3.19) gegeben ist. Die toroidale Komponente der Stromdichte ist durch (3.23) bestimmt und der poloidale Strom verteilt als Folge des Ampere'schen Gesetzes*) (3.21):

$$\underline{J}^P = 0. \quad (3.25)$$

* * *

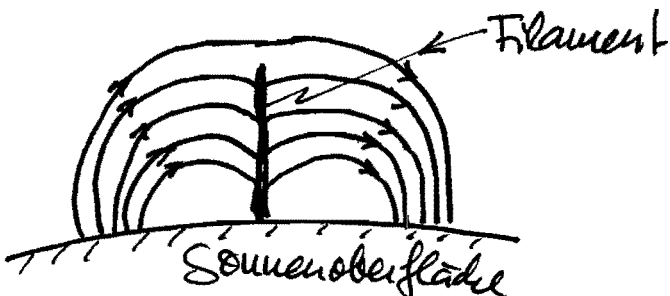
*) In Zylinderkoordinaten ist

$$\nabla \wedge \underline{B} = \left(\frac{1}{s} \frac{\partial B_z}{\partial \varphi} - \frac{\partial B_\varphi}{\partial z}, \frac{\partial B_s}{\partial z} - \frac{\partial B_z}{\partial s}, \frac{1}{s} \frac{\partial (s B_\varphi)}{\partial s} - \frac{1}{s} \frac{\partial B_s}{\partial \varphi} \right).$$

3.3 Sonnenfilamente im magnetohydrostatischen Gleichgewicht

Die Filamente der Sonne sind Ansammlungen von relativ kühler Materie oberhalb der Sonnenoberfläche. Gegen die heißere Sonnenscheibe erscheinen sie dunkler und stehen meist wie Blätter oder Kämme senkrecht auf der Sonnenoberfläche. Die kalte Materie der Filamente ist schwerer als die Umgebung; sie müssten daher auf die Sonne zurückfallen. Nun liegen aber die Filamente immer an den Trennungslinien der grossräumigen Magnetfeldgebiete (von 1-2 Gauss) verschiedener Polarität. Deshalb liegt die Vermutung nahe, dass sie durch Magnetfelder im Gleichgewicht gehalten werden. Dies wollen wir im folgenden untersuchen. (In folge dabei R. Kippenhahn, C. Hollenhoff, "Elementare Plasmaphysik", B. I. 1975, speziell § 18.)

Zunächst machen wir eine grobe qualitative Beobachtung. Schematisch ist die Feldkonfiguration in der Nähe eines Filaments in der nächsten Fig. gezeigt. Die Feldlinien haben einen Knick an der Stelle des Filaments. (Diesen Knick

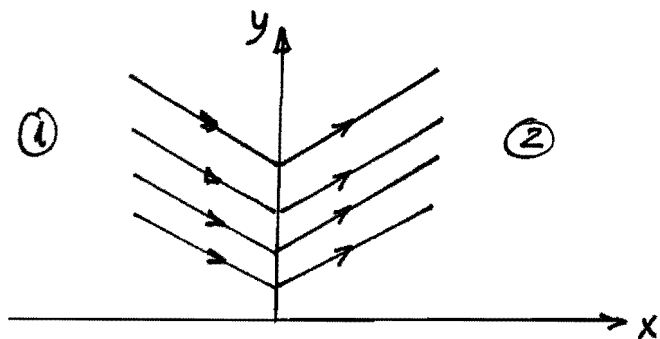


(werden wir unten auflösen.) Dadurch hat das Magnetfeld eine Zugwirkung auf das Filament aus, die wir mit Hilfe des Spannungstensors angeben können.

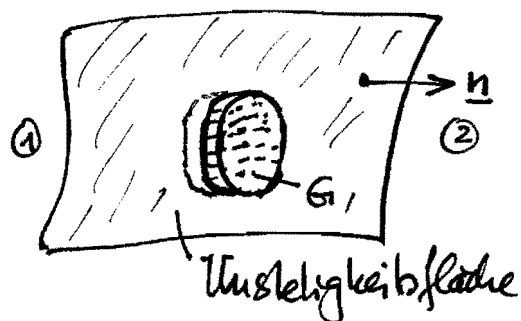
Beobachten wir das Magnetfeld der folgenden Figur, welches in der Ebene $x=0$ eine unstetige Tangentialkomponente hat,

$$B_x \text{ stetig}, \quad B_y^{(1)} = -B_y^{(2)}, \quad B_z = 0, \quad (3.26)$$

So gibt dieses Auflös zu einer Flächenkraftdichte. Diese erhalten



Wir für eine beliebige Unstetigkeitsfläche durch die folgende Beobachtung. Die gesamte Kraft auf ein Gebiet der Art



ist nach (1.5), (1.6)

$$k_i = - \int T_{ik} d\sigma_k . \quad (3.27)$$

Beim Grenzübergang Höhe des "Dose" $\rightarrow 0$ ergibt sich für die Flächenkraftdichte k^*

$$k_i^* = - \underbrace{(T_{ik}^{(2)} - T_{ik}^{(1)})}_{[[T_{ik}]]} n_k = \frac{1}{4\pi} [[B_i (B \cdot n) - \frac{1}{2} n_i B^2]] \quad (3.28)$$

(n zeigt nach ②!). Wenn speziell die Unstetigkeitsfläche in der (y, z) -Ebene liegt, erhalten wir aus (3.28)

$$4\pi k^* = (-\frac{1}{2} [[B_y^2 + B_z^2]], [[B_y]] B_x, [[B_z]] B_x) . \quad (3.29)$$

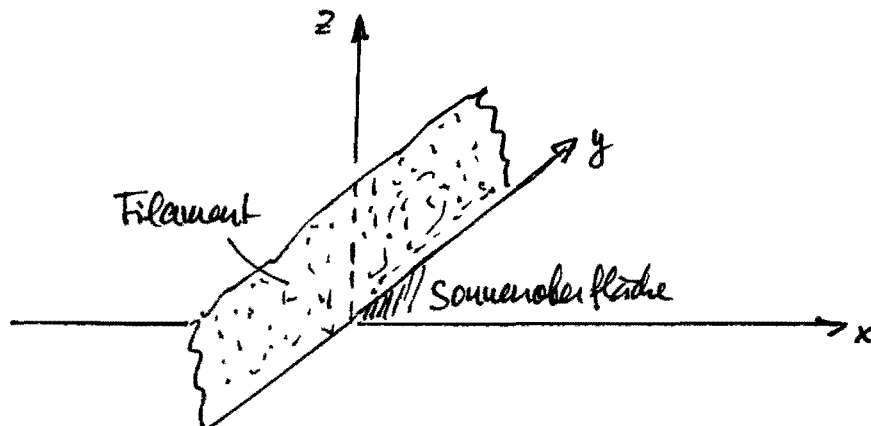
Speziell für das Feld (3.26) ergibt sich daraus

$$k_x^* = 0 , \quad k_y^* = \frac{1}{4\pi} [[B_y]] B_x > 0 , \quad k_z^* = 0 . \quad (3.30)$$

Das Feld versucht also, die Unstetigkeitsfläche nach oben zu ziehen. Dies zeigt, dass die Filamente in den Feldlinien "hängen" können.

Nun wollen wir aber ein Filament auflösen und untersuchen wie sich das Magnetfeld stetig ändert.

Wir betrachten ein sehr langes Filament senkrecht auf der als eben idealisierten Sonnenoberfläche. Letztere bilde die (x,y) -Ebene und das Filament sei in der (y,z) -Ebene (s. Fig.).



Wir müssen die Grundgleichungen (3.1-4) lösen.

Es interessiert uns nur die zweidimensionale Struktur der Filamente parallel zur (x,z) -Ebene und deshalb nehmen wir an, dass alle Größen von y unabhängig sind. Ferner nehmen wir an, dass T tatsächlich konstant ist. Mit

$$\underline{B} = (B_x, 0, B_z), \quad \underline{g} = (0, 0, -g) \quad (3.31)$$

und $(\nabla \times \underline{B}) \wedge \underline{B} = (\partial_z B_x - \partial_x B_z) (B_z, 0, -B_x)$ (3.32)

folgt aus (3.2-3.4)

$$\frac{R}{\mu} T \partial_x \rho_m = \frac{1}{4\pi} B_z (\partial_z B_x - \partial_x B_z), \quad (3.33)$$

$$\frac{R}{\mu} T \partial_z \rho_m = -\frac{1}{4\pi} B_x (\partial_z B_x - \partial_x B_z) - \rho_m g. \quad (3.34)$$

Leiten wir (3.33) partiell nach z , (3.34) partiell nach x ab und

Subtrahieren die resultierenden Gleichungen, so erhalten wir

$$\begin{aligned} 0 &= \frac{1}{4\pi} \underbrace{(\partial_z B_z + \partial_x B_x)(\partial_z B_x - \partial_x B_z)}_{0 (\operatorname{div} \underline{B} = 0!)} \\ &\quad + \frac{1}{4\pi} B_z (\partial_z^2 B_x - \partial_x \partial_z^2 B_z) + \frac{1}{4\pi} \partial_x B_x (\partial_z \partial_x B_x - \partial_x^2 B_z) \\ &\quad + \partial_x \mu \text{m g}. \end{aligned} \quad (3.35)$$

Aus $\operatorname{div} \underline{B} = 0$ folgt

$$\partial_x \partial_z B_z = -\partial_x^2 B_x, \quad \partial_x \partial_z B_x = -\partial_z^2 B_z. \quad (3.36)$$

Damit vereinfacht sich (3.35) zu

$$B_z \Delta B_x - B_x \Delta B_z + 4\pi g \partial_x \mu = 0. \quad (3.37)$$

Es ist nun leicht die folgende Identische

$$H_p = \frac{RT}{g\mu} \quad (3.38)$$

einzuführen; beachte $P(B=0) \propto e^{-z/H_p}$. Wenn wir in (3.37) die Größe $\partial_x \mu$ aus (3.33) einsetzen, so erhalten wir

$$B_z \Delta B_x - B_x \Delta B_z + \frac{1}{H_p} \partial_z (B_z \partial_x B_x - \partial_x B_z) = 0. \quad (3.39)$$

Nun vereinfachen wir das Problem noch weiter. Die Variation in der x -Richtung (transversal zum Filament) ist natürlich viel rascher als in der z -Richtung. Deshalb vernachlässigen wir in (3.39) Ableitungen nach z . Wegen $\operatorname{div} \underline{B} = 0$ gilt dann $B_x = \text{const}$, während $B_z = B_z(x)$ nur noch von x abhängt. Bezeichnet ein Strich die Ableitung nach x , so vereinfacht sich (3.39) zu

$$-B_x B_z'' + \frac{1}{H_p} \partial_z (-B_z') = 0. \quad (3.40)$$

Sei

$$\tilde{\alpha} := H_p B_x = \text{const.}, \quad (3.41)$$

womit Gl. (3.40) wie folgt geschrieben werden kann

$$B_z'' + \alpha B_z B_z' = 0. \quad (3.42)$$

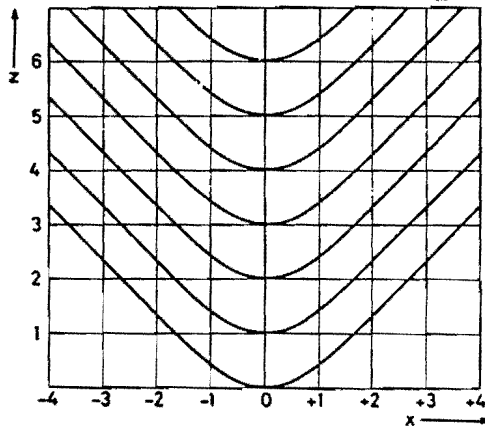
Integration dieser Gleichung gibt

$$B_z' + \frac{\alpha}{z} B_z^2 = \text{const.} \quad (3.43)$$

Für $x \rightarrow \infty$ nähme B_z den konstanten Wert B_z^∞ an. Die Lösung von (3.43) lautet dann

$$B_z = B_z^\infty \tanh \xi, \quad \xi = \frac{B_z^\infty x}{z H_p B_x} = \frac{1}{2} \alpha B_z^\infty x. \quad (3.44)$$

Der Verlauf der Feldlinien ist in der folgenden Figur gezeigt.



Setzen wir die Lösung (3.44) in (3.33) ein, so ergibt sich auch die DichteVerteilung im Inneren des Filamentes:

$$\frac{RT}{\mu} \partial_x \rho_m = -\frac{1}{4\pi} B_z \partial_x B_z = -\frac{1}{8\pi} \partial_x B_z^2.$$

Mit der Randbedingung $\rho_m \rightarrow 0$ für $x \rightarrow \infty$ ergibt sich die Lösung

$$\frac{4\pi RT}{\mu} \rho_m = -\frac{1}{2} (B_z^2 - (B_z^\infty)^2), \quad (3.45)$$

d.h.

$$\rho_m = -\frac{1}{8\pi} \frac{\mu}{RT} (B_z^\infty)^2 (\tanh^2 \xi - 1) = \frac{1}{8\pi} \frac{\mu}{RT} \left(\frac{B_z^\infty}{\tanh \xi} \right)^2. \quad (3.46)$$

für hat im Zentrum ($x=0$) ein statisches Maximum ρ_c . Numerisch erhält man für $B_z^{\infty} = 1 \text{ Gauss}$, $\mu = 1$, $T = 3700 \text{ K}$ den Wert $\rho_c \approx 8 \times 10^{10} \text{ H-Atome pro cm}^3$. Etwa diese Größenordnung ergibt sich auch aus spektroskopischen Untersuchungen.

* * *

III.4 Makroskopische Magnetostatik

Nach dem Vorbild von § I.10 leiten wir jetzt auch die makroskopische Magnetostatik materieller Medien durch Rücksicht auf der mikroskopischen Theorie her.

Die mikroskopischen Gleichungen lauten

$$\operatorname{div} \underline{B} = 0 , \quad \operatorname{rot} \underline{B} = \frac{4\pi}{c} \underline{j} . \quad (4.1)$$

Hier ist \underline{B} die mikroskopische magnetische Induktion und \underline{j} die mikroskopische Stromdichte. Letztere zerlegen wir in eine Leitungsstromdichte \underline{J}_l und eine atomare Stromdichte \underline{j}_a , welche von den Spulen in den Atomen und Molekülen herstammt:

$$\underline{j}_a(x) = \sum_k \underline{j}_a^{(k)}(x) . \quad (4.2)$$

Durch die Mittelwertbildung (I.10.3) erhalten wir aus (4.1) für die makroskopische magnetische Induktion

$$\underline{B} = \langle \underline{B} \rangle \quad (4.3)$$

die Gleichungen

$$\operatorname{div} \underline{B} = 0 , \quad \operatorname{rot} \underline{B} = \frac{4\pi}{c} (\underline{J}_l + \langle \underline{j}_a \rangle) . \quad (4.4)$$

Bei der Berechnung von $\langle j_a^{(k)} \rangle$ bemühen wir, dass $j_a^{(k)}$ nur in einer kleinen Umgebung von atomares Dimensionen um den "Hilfspunkt" x_k des "Atoms" k nicht verschwindet. Wir setzen deshalb in (der Index a wird unterdrückt)

$$\langle j^{(k)} \rangle(x) = \int g(x-x') j^{(k)}(x') dx'$$

$x'-x_k = \xi$ und entwickeln nach Taylor:

$$\begin{aligned} \langle j^{(k)} \rangle(x) &= \int g(x-x_k-\xi) j^{(k)}(x_k+\xi) d\xi \\ &= g(x-x_k) \int j^{(k)}(x') dx' - \frac{\partial}{\partial x_k} g(x-x_k) \int j^{(k)}(x_k+\xi) \xi_i d\xi + \dots \end{aligned}$$

Wegen $\partial_x j^{(k)} = 0$ verschwindet der erste Term nach dem Leibniz-Kriterium (vgl. K.2 (2.16)). Es bleibt

$$\langle j_a \rangle(x) = - \frac{\partial}{\partial x_k} \sum_k g(x-x_k) \int j_a^{(k)}(x_k+\xi) \xi_i d\xi + \dots$$

Im Integral rechts bemühen wir noch die Identität (2.19) für $a = \nabla$ und erhalten

$\langle j_a \rangle = c \text{ rot } \underline{M}$

(4.5)

mit

$$\underline{M}(x) = \sum_k g(x-x_k) \underline{\mu}^{(k)} \quad (4.6)$$

Darin ist $\underline{\mu}^{(k)}$ das magnetische Moment des k-ten "Atoms". Die Magnetisierung \underline{M} ist der Mittelwert eines Systems von Punkt-dipolen $\underline{\mu}^{(k)}$ in den Positionen x_k . (In (4.6) kann man bei der Mittelung wieder zu scharfen Rändern übergehen.)

Aus (4.4) und (4.5) erhalten wir für die inhomogene Feldgleichung des mittleren Feldes \underline{B} :

$$\text{rot } \underline{B} = \frac{4\pi}{c} (\underline{J}_e + \underline{J}_{\text{magn.}}) , \quad (4.7)$$

mit der Magnetisierungsdichte

$$\underline{J}_{\text{magn.}} = c \nabla \wedge \underline{M} . \quad (4.8)$$

Leider ist es immer noch nötig, mit dem folgenden Hilfsfeld

$$\underline{H} = \underline{B} - \frac{4\pi}{c} \underline{M} , \quad (4.9)$$

dem sog. magnetischen Feld, zu operieren, für das ich keine Intuition habe. Dann kann man die Feldveränderungen der makroskopischen Magnetostatik so schreiben

$$\text{div } \underline{B} = 0 , \text{ rot } \underline{H} = \frac{4\pi}{c} \underline{J}_e . \quad (4.10)$$

Wieder benötigen wir eine zusätzliche phänomenologische Beziehung zwischen \underline{H} und \underline{B} (oder besser \underline{M} und \underline{B}). Für isotrope diamagnetische und paramagnetische Substanzen ist

$$\underline{B} = \mu \underline{H} , \quad (4.11)$$

wobei die magnetische Permeabilität μ eine Materialgröße ist, welche uns sehr wenig von 1 abweicht. Typisch ist $1/\mu - 1 \approx 10^{-5}$,

$\mu > 1$ für paramagnetische Substanzen,

$\mu < 1$ für diamagnetische Materialien.

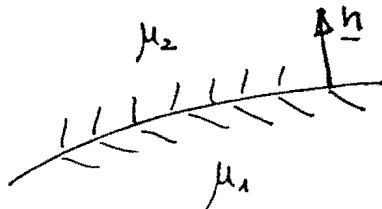
Wir kommen hier auf die mikroskopische Theorie dieser Substanzen nicht eingehen (s. Vorlesung über Physik der kondensierten Materie). Es sei lediglich bemerkt, dass der Diamagnetismus (z.B. von Heliumgas) ein rein quantenmechanischer Effekt ist.

In Ferromagnetika ist der Zusammenhang zwischen

\underline{B} und M wesentlich nichtlinear und im Allgemeinen auch nicht eindeutig: \underline{B} hängt als Funktion von M davon ab, wie das Material präpariert worden ist (Hysterese). Wir werden diese Substanzen im folgenden nicht behandeln.

Randwertprobleme der Magnetostatik

Wir diskutieren zuerst die Randbedingungen an der Grenze zwischen zwei Medien mit verschiedenen magnetischen Eigenschaften (s. Fig.)



Integrieren wir $\operatorname{div} \underline{B} = 0$ über das Gebiet S in der oberen Fig. auf S.I.16 und machen denselben Grenzübergang wie dort, so finden wir sofort die Stetigkeit der Normalkomponente von \underline{B} :

$$\boxed{(\underline{B}_2 - \underline{B}_1) \cdot \underline{n} = 0.} \quad (4.11)$$

Integrieren wir anderseits \underline{H} längs der geschlossenen Kurve γ in der unteren Fig. auf S.I.16, so ergibt sich

$$\int_{\gamma} \underline{H} \cdot d\underline{s} = \int_S \operatorname{rot} \underline{H} \cdot d\underline{\sigma} = \frac{4\pi}{c} \int_S \underline{J} \cdot \underline{n}' d\underline{\sigma}, \quad (4.12)$$

wobei \underline{n}' senkrecht auf S steht. Wieder lassen wir die Höhe des "Rechtecks" in der Fig. gegen Null gehen. In diesem Grenzfall erhalten wir aus (4.12) (\underline{n}' ist tangential)

an die (Kontinuitätsfläche):

$$(\underline{H}_2 - \underline{H}_1) \cdot (\underline{n}' \wedge \underline{n}) = \frac{4\pi}{c} \underline{J}^* \underline{n}', \quad (4.13)$$

Darin ist \underline{J}^* der Oberflächenstrom. Da \underline{n}' ein beliebiger tangentialer Einheitsvektor an die (Kontinuitäts-)fläche ist, folgt aus (4.13)

$$\underline{n} \wedge (\underline{H}_2 - \underline{H}_1) = \frac{4\pi}{c} \underline{J}^*. \quad (4.14)$$

In besondere verschwindet die linke Seite, wenn es keine Oberflächenströme gibt.

Wir behandeln nun eine Reihe von einfachen Beispielen.

a) Das Feld einer homogen magnetisierten Kugel

Wir betrachten eine Kugel mit Radius a und konstanter Magnetisierungsdichte \underline{M} . Außerhalb der Kugel sei $\mu = 1$ (z.B. Vakuum). Gesucht sind \underline{B} und \underline{H} .

Außenhalb der Kugel ist ($\underline{B} = \underline{H}$):

$$\operatorname{div} \underline{B} = 0, \quad \operatorname{rot} \underline{B} = 0,$$

Deshalb existiert ein (skalares) Potenzial ϕ mit

$$\underline{B} = -\operatorname{grad} \phi, \quad \Delta \phi = 0. \quad \text{für } r > a \quad (4.15)$$

Im Unendlichen soll natürlich \underline{B} verschwinden. Die allgemeinste Form von ϕ ist deshalb (siehe MHP-Skript, Kap. IV):

$$\phi = \sum_{l=0}^{\infty} b_l r^{-(l+1)} P_l(\cos \vartheta), \quad r > a, \quad \vartheta = \angle(\underline{M}, \underline{x}), \quad (4.16)$$

Innenhalb der Kugel ist

$$\underline{H} = \underline{B} - 4\pi \underline{M}. \quad (4.17)$$

In dieser Gl. sind alle drei Vektoren parallel (zur z-Achse);

$$\underline{B}_r = B_0 \cos \vartheta, \quad \underline{B}_\theta = -B_0 \sin \vartheta.$$

Nach (4.11) und (4.14) ($\underline{J}^* = 0$) müssen B_r und H_θ für $r=a$ stetig sein. Dies impliziert

$$B_0 \cos \vartheta = \sum_{l=0}^{\infty} b_l \frac{(l+1)}{a^{l+2}} P_l(\cos \vartheta)$$

$$-(B_0 - 4\pi M) \sin \vartheta = - \sum_{l=0}^{\infty} b_l \frac{1}{a^{l+2}} \frac{d}{d\vartheta} P_l(\cos \vartheta).$$

Daraus sieht man, dass nur $b_{l=1} \neq 0$ sein kann und wir finden ($P_1(\cos \vartheta) = \cos \vartheta$):

$$B_0 = 2b_1/a^3,$$

$$-(B_0 - 4\pi M) = b_1/a^3,$$

d.h. $b_1 = \frac{4\pi}{3} \cdot M a^3, \quad B_0 = \frac{8\pi}{3} M.$

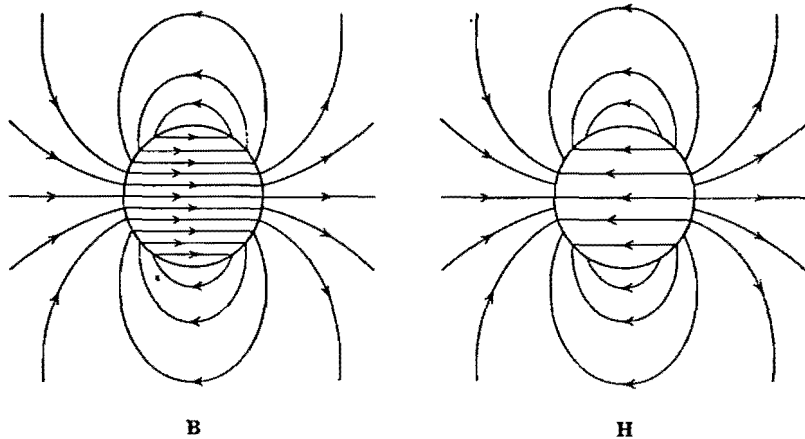
Für $r < a$ erhalten wir also

$$\boxed{\underline{B} = \frac{8\pi}{3} \underline{M}, \quad \underline{H} = -\frac{4\pi}{3} \underline{M}.} \quad (4.18)$$

Außenhalb der Kugel liegt ein Dipolfeld vor, mit dem Dipolmoment

$$\underline{M} = \int_{\text{Kugel}} \underline{M} d\underline{x} = \frac{4\pi}{3} a^3 \underline{M}. \quad (4.19)$$

Beachte die Vorzeichen in (4.18). Die Feldlinien von \underline{B} sind geschlossen, während diejenigen für \underline{H} auf der Oberfläche enden. Das ist in den beiden folgenden Fig. gezeigt.



b) Magnetisierte Kugel in einem äusseren Feld

Sehen wir die magnetisierte Kugel von Beispiel a) in ein äusseres Feld \underline{B}_0 , dann erhalten wir die resultierenden Felder einfach durch Superposition. (Die Feldgleichungen und die Randbedingungen sind linear!). Also ist

$$\underline{B} = \underline{B}_0 + \frac{8\pi}{3} \underline{M}, \quad \underline{H} = \underline{B}_0 - \frac{4\pi}{3} \underline{M} \quad \text{für } r < a. \quad (4.20)$$

Falls die Kugel nicht permanent magnetisiert ist (diamagnetische oder paramagnetische Substanz), dann kommt die Magnetisierung \underline{M} durch das äussere Feld zustande. Um \underline{M} zu bestimmen, benutzen wir in (4.20) die Beziehung $\underline{B} = \mu \underline{H}$ und finden

$$\underline{M} = \frac{3}{4\pi} \frac{\mu-1}{\mu+2} \underline{B}_0. \quad (4.21)$$

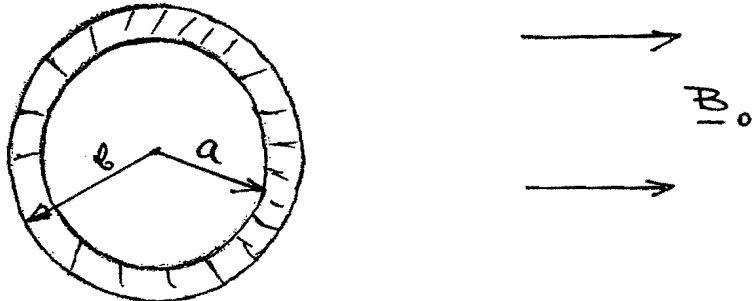
Eine ganz analoge Formel hatten wir für eine dielektrische Kugel in einem äusseren Feld.

Für Ferromagnetika gilt diese Beziehung nicht. Durch Elimination von \underline{M} in (4.20) erhält man aber die allgemein gültige Relation

$$\underline{B} + 2\underline{H} = 3\underline{B}_0. \quad (4.22)$$

c) Kugelschale in einem homogenen äusseren Feld

An Stelle einer Kugel sehen wir jetzt eine Kugelschale von permeablen Material in ein äusseres Feld \underline{B}_0 (s. Fig.).



Da keine Strome fließen, ist in allen drei Gebieten der Fig. $\nabla \cdot \underline{H} = 0$, d.h. $\underline{H} = -\text{grad } \phi$. Aus $\underline{B} = \mu \underline{H}$ folgt wieder überall $\Delta \phi = 0$. Weit weg ist außerdem $\phi \rightarrow -B_0 + \text{const}$. Für den Außenraum ($r > b$) gilt der Ansatz

$$\phi = -B_0 r \cos \vartheta + \sum_{l=0}^{\infty} \alpha_l r^{-(l+1)} P_l(\cos \vartheta), \quad (4.23)$$

Für $a < r < b$ ist das Potential von der Form

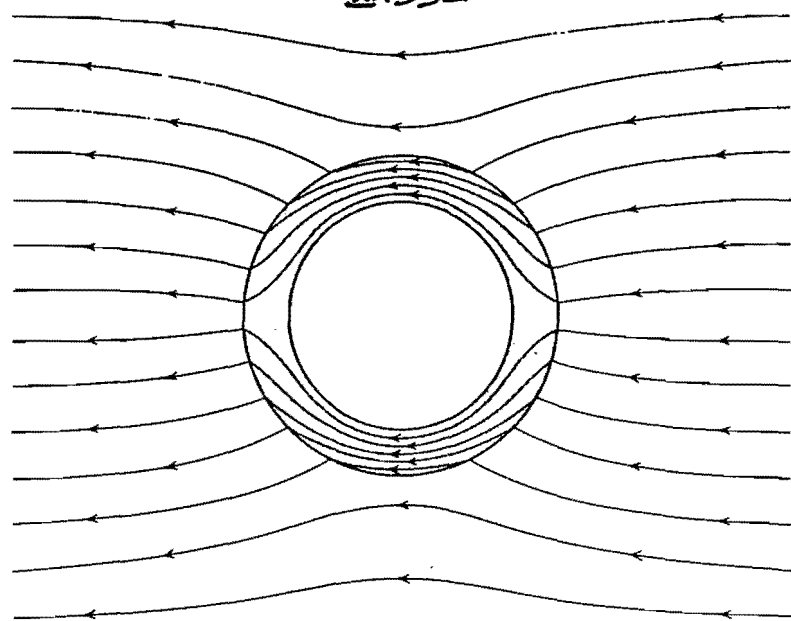
$$\phi = \sum_{l=0}^{\infty} (\beta_l r^l + \gamma_l r^{-(l+1)}) P_l(\cos \vartheta) \quad (4.24)$$

und für $r < a$ gilt

$$\phi = \sum_{l=0}^{\infty} \delta_l r^l P_l(\cos \vartheta). \quad (4.25)$$

Dieses Beispiel wird in den Übungen weiter untersucht. Es wird sich zeigen, dass alle Koeffizienten in (4.23) – (4.25) verschwinden, außer für $l=1$. Für hohes μ wird sich herausstellen, dass das Magnetfeld im Inneren (auch für eine dicke Schale) stark reduziert wird. Diese magnetische Abschirmung ist von grossem praktischem Nutzen.

Die Feldlinien von \underline{B} sind in der folgenden Fig. gezeigt.



* * *



III.5 Stromverteilung bei Gleichstrom in Leitern, Ohm'scher Widerstand

In der Elektrostatik konnte man die Leiter dadurch charakterisieren, dass in Linien des elektrischen Felds verschwindet.

In nichtstatischen Situationen können aber in Leitern Strome fließen, deren Stromdichte schon bei kleinen Feldstärken E beträchtlich sein kann.

A. Ohm'sches Gesetz

Viele Leiter lassen sich durch eine lineare Beziehung zwischen I und E beschreiben:

$$I = \sigma E. \quad (5.1)$$

Den Proportionalitätsfaktor σ nennt man die Leitfähigkeit und die Beziehung (5.1) das Ohm'sche Gesetz.

Gelegentlich benötigen wir die Verallgemeinerung dieses Gesetzes auf bewegte Leiter. In lokalen Punktsystem eines kleinen Leiterstückes ist das elektrische Feld E' nach (II.1.33), bis auf $O(v^2/c^2)$, gegeben durch

$$E' = E + \frac{1}{c} v \wedge B \quad (+ O(v^2/c^2)). \quad (5.2)$$

Es ist klar, dass die Verallgemeinerung von (5.1), wie folgt lauten muss

- bis auf $O(v^2/c^2)$ -

$$I = \sigma E' = \sigma \left(E + \frac{1}{c} v \wedge B \right). \quad (5.3)$$

(Das Ohm'sche Gesetz kann man auch kovariant formulieren. Siehe dazu das SRT-Skript, Abschnitt über die Elektrodynamik bewegter Körper.)

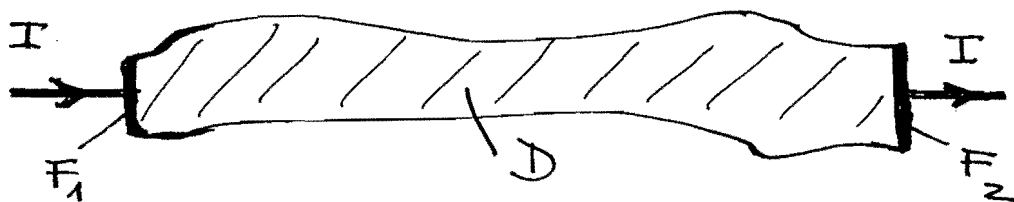
Für sehr gute Leiter folgt aus (5.3)

$$\underline{E} + \frac{1}{c} \underline{v} \times \underline{B} \approx 0. \quad (5.4)$$

Diese Näherung verwendet man z.B. oft für ein Plasma (Kap. 7). (Für ein Bsp. siehe die Übungsserie 7.)

3. Stromverteilung in Ohmschen Widerstand

Wir wollen nun die Stromverteilung in einem so-geauerten Ohmschen Widerstand untersuchen. Als einen solchen Widerstand bezeichnet man ein Stück Materie, in dem σ wesentlich kleiner ist als in den "Zuleitungsdrahten" (schlechter Leiter). Das zugehörige Gebiet D besitzt also zwei Oberflächenanteile F_1 und F_2 (s. Fig.), die den Stellen entsprechen, an denen die Zuleitungen mit sehr grossen Leitfähigkeiten angebracht sind.



Die stationäre Stromverteilung im Leiter sei $J(x)$. Das elektrische Feld erfüllt $\nabla \cdot \underline{E} = 0$ und kann deshalb aus einem Potential abgeleitet werden

$$\underline{E} = -\nabla \phi. \quad (5.5)$$

Aus der $\nabla \cdot \underline{J} = 0$ und dem Ohmschen Gesetz (5.1) folgt

für Φ die Differentialgleichung

$$\operatorname{div}(\sigma \operatorname{grad} \Phi) = 0. \quad (5.6)$$

Wir setzen

$$\underline{J}(\underline{x}) = I \underline{s}(\underline{x}), \quad (5.7)$$

wo I der Gesamtstrom durch \mathcal{D} ist. Die Berechnung von $\underline{s}(\underline{x})$ erfordert die Lösung eines Randwertproblems:
Es ist

$$\underline{s}(\underline{x}) = -\sigma(\underline{x}) \operatorname{grad} \Phi,$$

wo Φ die Gleichung (5.6) und die Randbedingungen

$$(i) \quad \frac{\partial \Phi}{\partial n} = 0 \quad \text{auf den freien Oberflächen von } \mathcal{D} \quad (\text{Normalkomponente des Stromes} = 0)$$

$$(ii) \quad \int_{F_{1,2}} \sigma \frac{\partial \Phi}{\partial n} d\underline{n} = \pm 1 \quad (\text{Stromstärke } \pm 1 \text{ der Zuleitungen})$$

erfüllt. Die pro Zeiteinheit an den Ladungen geleistete Arbeit ist (\underline{B} leistet keine Arbeit) pro Volumeneinheit gleich* $\underline{J}(\underline{x}) \cdot \underline{E}(\underline{x})$. Die gesamte Leistung in \mathcal{D} ist somit

$$\int_{\mathcal{D}} \underline{J}(\underline{x}) \cdot \underline{E}(\underline{x}) d^3x = I^2 \int_{\mathcal{D}} \frac{\underline{s}^2(\underline{x})}{\sigma(\underline{x})} d^3x = I^2 R, \quad (5.8)$$

*) Die Arbeit, welche ein Feld $(\underline{E}, \underline{B})$ an einer Punktladung e pro Zeiteinheit leistet, ist

$$K \cdot v = e v \cdot (\underline{E} + \frac{1}{c} \underline{v} \times \underline{B}) = ev.$$

Deshalb ist die Leistungsdichte an einer Stromverteilung gleich $\underline{J} \cdot \underline{E}$.

wobei

$$R = \int_D \frac{\sigma^2(x)}{\sigma(x)} dx \quad (5.10)$$

der Widerstand des Materials in D ist.

Für die Leistung gilt auch

$$\begin{aligned} \int_D I \cdot E dV &= \int_D \sigma |\nabla \phi|^2 dV = \int_D \operatorname{div}(\sigma \nabla \phi) dV \\ &= \int_{\partial D} \sigma \frac{\partial \phi}{\partial n} ds. \end{aligned}$$

Da $-\sigma \frac{\partial \phi}{\partial n}$ die Normalkomponente des Stromes durch die Oberfläche pro Flächeneinheit ist, erhalten wir

$$\boxed{\int_D I \cdot E dV = IV, \quad V = \phi_1 - \phi_2 : \text{Potenzialdifferenz}, \quad V = \int_1^2 E \cdot dS.} \quad (5.11)$$

Der Vergleich mit (5.9) gibt

$$\boxed{V = IR.} \quad (5.12)$$

Nach (5.10) hängt R nur von σ und der Geometrie von D ab. Die Beziehung (5.12) ist das bekannte (integrale) Ohm'sche Gesetz.

Wir können den Widerstand R noch anders darstellen. Dazu sei $\hat{\phi}$ die Lösung von (5.6) mit den Randbedingungen

$$\begin{aligned} (i) \quad \frac{\partial \hat{\phi}}{\partial n} &= 0 \text{ auf den freien Oberflächen von } D, \\ (ii) \quad \hat{\phi}|_{F_1} &= 1, \quad \hat{\phi}|_{F_2} = 0. \end{aligned} \quad (5.13)$$

Dann ist $\phi = \phi_2 + V \hat{\phi}$. Außerdem ist

$$I = \int_{F_2} J \cdot n \, d\sigma = - \int_{F_2} \sigma \frac{\partial \psi}{\partial n} \, d\sigma$$

$$= -V \int_{F_2} \sigma \frac{\partial \hat{\psi}}{\partial n} \, d\sigma.$$

Vergleichen wir dies mit (5.12), so ergibt sich

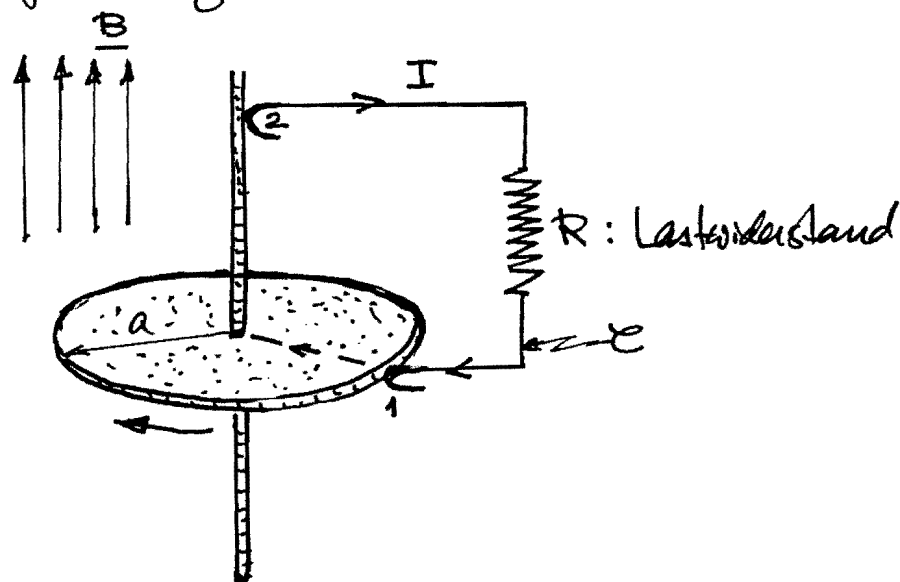
$$R^{-1} = - \int_{F_2} \sigma \frac{\partial \hat{\psi}}{\partial n} \, d\sigma. \quad (5.14)$$

Als spezielles Beispiel betrachten wir einen dünnen Draht mit langsam veränderlichem Querschnitt q . Hier ist s in (5.7) über den Querschnitt annähernd konstant und folglich gilt $s^2 \approx 1/q^2$. Aus (5.10) ergibt sich für den Widerstand des Drahtes das folgende Linienintegral längs des Drahtes

$$R = \int_{\text{Draht}} \frac{ds}{q \cdot s}. \quad (5.15)$$

C. Umpolarinduktion

Wir beschreiben die Umpolarinduktion, welche bei der Konstruktion von Umpolmaschinen verwendet wird, am Beispiel der Faraday-Scheibe (s. Fig.). Darunter verstehen wir eine rotierende Scheibe aus sehr gut leitendem Material, welche in ein homogenes Magnetfeld eingeschoben ist. Schleifkontakte verbinden die Achse senkrecht durch den Mittelpunkt der Scheibe über einen Widerstand R mit dem Rand der Scheibe. Wir interessieren uns für die Spannung zwischen diesen beiden Stellen.



Diese wollen wir auf zwei verschiedene Arten bestimmen.
Bei der ersten Methode betrachten wir den zehnenden geschlossenen Weg \mathcal{C} (ruhend bez. des Laborsystems) durch die äußere Leitung, den gestrichelten Weg zum Mittelpunkt und ausdrückend zum Schleifkontakt auf der Rotationsachse. Da eine statische Situation vorliegt, gilt

$$\oint_{\mathcal{C}} \underline{E} \cdot d\underline{s} = 0 = \int_1^2 \underline{E} \cdot d\underline{s} + IR. \quad (5.16)$$

Das Integral rechts erstreckt sich über gute Leiter und für diese gilt nach (5.4)

$$\underline{E} + \frac{1}{c} \underline{v} \wedge \underline{B} \approx 0. \quad (5.17)$$

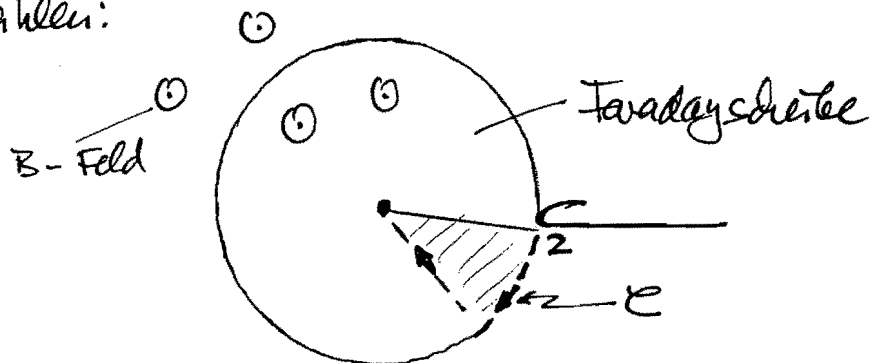
Deshalb haben wir

$$\int_1^2 \underline{E} \cdot d\underline{s} \approx -\frac{1}{c} \int (\underline{v} \wedge \underline{B}) \cdot d\underline{s} = -\frac{1}{c} \Omega B \int_0^a r dr = -\frac{1}{c} \Omega B \frac{a^2}{2},$$

wo Ω die Winkelgeschwindigkeit ist. Deshalb folgt aus (5.16) für die gesuchte Spannung

$$V = IR = \frac{1}{2} \frac{\Omega a}{c} Ba. \quad (5.18)$$

(Wir könnten aber auch ein unbewegtes Wegstück durch die Spule wählen:



Dann ist das Faraday'sche Induktionsgesetz (II.5.4) für bewegte Leiter zuständig

$$\int_C \underline{E}' \cdot d\underline{s} = -\frac{1}{c} \dot{\phi}, \quad \underline{E}' = \underline{E} + \frac{1}{c} \underline{v} \wedge \underline{B}. \quad (5.19)$$

Wegen $\nabla \wedge \underline{E} = 0$ ist wieder

$$\oint_C \underline{E} \cdot d\underline{s} = 0 = \int_1^2 \underline{E} \cdot d\underline{s} + V. \quad (5.20)$$

Außerdem liefert das Integral in (5.19) zw. EMK von 1 nach 2 für gute Leiter keinen Beitrag und es ist

$$V = -\frac{1}{c} \dot{\phi} \Rightarrow \int_1^2 \underline{E} \cdot d\underline{s} = \frac{1}{c} \dot{\phi}. \quad (5.21)$$

Nun ist aber

$$\dot{\phi} = B \times \text{überstrahlene Fläche pro Zeitseinheit} \cdot (-1)$$

$$= -B \cdot \text{Frequenz} \cdot \pi a^2 = -\frac{B}{2} \cdot \frac{\sum \pi a^2}{2\pi} = -\frac{1}{2} \Omega B a^2.$$

Wieder erhalten wir das Ergebnis (5.18) (Vorzeichen?)!

Ergänzung zu A

Wir leiten noch das relativistische konkrete Ohm'sche Gesetz für bewegte Leiter her. Dazu notieren wir zuerst die bekannten Transformationsgesetze

$$\begin{aligned} E'_\parallel &= (\underline{E} + \frac{1}{c} \underline{v} \wedge \underline{B})_\parallel, \quad E'_\perp = \gamma (\underline{E} + \frac{1}{c} \underline{v} \wedge \underline{B})_\perp, \\ J'_\parallel &= \gamma (J - \beta v)_\parallel, \quad J'_\perp = (J - \beta v)_\perp. \end{aligned} \quad (5.22)$$

Aus $J' = \sigma E'$ im Ruhesystem erhalten wir deshalb im Laborsystem

$$\begin{aligned} \gamma (J - \beta v)_\parallel &= \sigma (\underline{E} + \frac{1}{c} \underline{v} \wedge \underline{B})_\parallel, \\ (J - \beta v)_\perp &= \sigma \gamma (\underline{E} + \frac{1}{c} \underline{v} \wedge \underline{B})_\perp. \end{aligned} \quad (5.23)$$

Diese Gl. kann man etwas künstlich zusammenfassen:

Sei $\underline{E}^* := \underline{E} + \frac{1}{c} \underline{v} \wedge \underline{B}$, dann gilt

$$\underbrace{J - \beta v}_{\text{Leitungsstrom } J_l} = \sigma \gamma (\underline{E}^* - (\beta \cdot \underline{E}^*) \beta).$$

Wir haben also

$$\boxed{\begin{aligned} J_l &= \sigma \gamma [\underline{E}^* - (\beta \cdot \underline{E}^*) \beta] \\ &= \sigma \underline{E}^* + \mathcal{O}(\beta^2). \end{aligned}} \quad (5.24)$$

Die kovariante Formulierung lautet

$$\boxed{j^\mu = j^\mu - (j \cdot u) u^\mu = \sigma F^{\mu\nu} u_\nu}. \quad (5.25)$$

(Sodie § V.2.)